

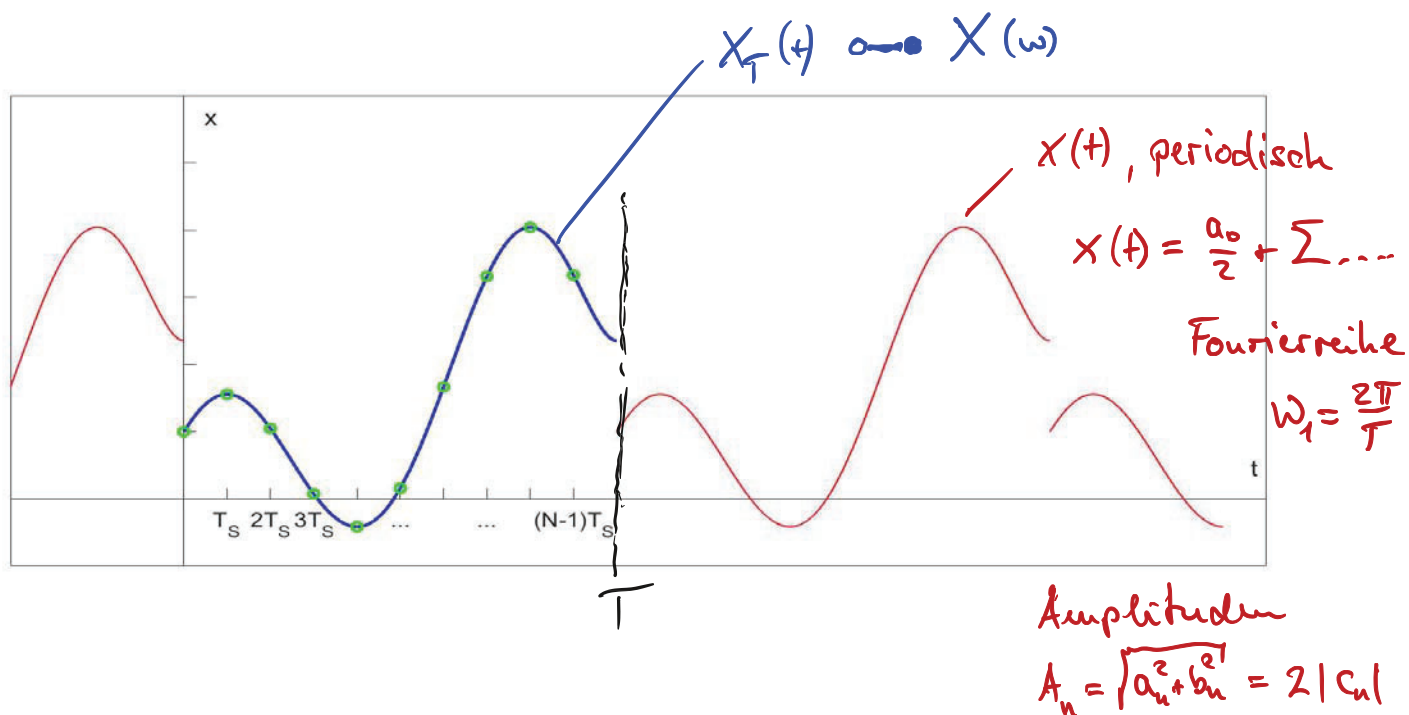
## Fourier-Spektralanalyse – Zusammenhänge, Anwendung

Zu unterscheiden sind

- Fourierreihe
- Fouriertransformation
- Diskrete Fouriertransformation

Dazu gehören drei unterschiedliche Signalformen

$x_T(t)$	kontinuierliche Funktion, $0 \leq t < T$	Fouriertransformation
$x(t)$	kontinuierliche Funktion, $t \in \mathbb{R}$ , periodische Fortsetzung von $x_T(t)$	Fourierreihe
$x_k = x_T(kT_S)$	diskrete Wertefolge aus der Abtastung von $x_T(t)$ mit Abtastzeit $T_S$	DFT



Die **Fouriertransformierte**

$$X(\omega) = \int_{-\infty}^{\infty} x_T(t) e^{-i\omega t} dt$$

ist eine kontinuierliche Funktion der Frequenz.

Sie stellt die **Spektraldichte** von  $x_T(t)$  dar.

Die **Fourierreihe** stellt die periodische Funktion  $x(t)$  durch Sinusschwingungen dar.

$$x(t) = \frac{a_0}{2} + \sum_{n=1}^{\infty} \left( a_n \cos\left(n \frac{2\pi}{T} t\right) + b_n \sin\left(n \frac{2\pi}{T} t\right) \right) = \sum_{n=-\infty}^{\infty} c_n e^{in \frac{2\pi}{T} t}$$

Die Amplituden erhält man aus den Koeffizienten

$$c_n = \frac{1}{T} \int_0^T x_T(t) e^{-in \frac{2\pi}{T} t} dt.$$

Die zugehörigen Frequenzen sind ganzzahlige Vielfache der Grundfrequenz

$$\omega_1 = \frac{2\pi}{T}.$$

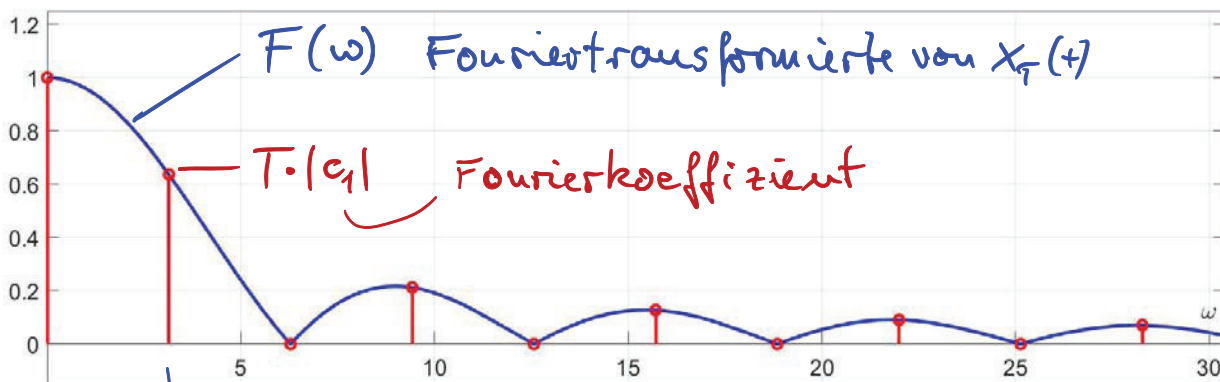
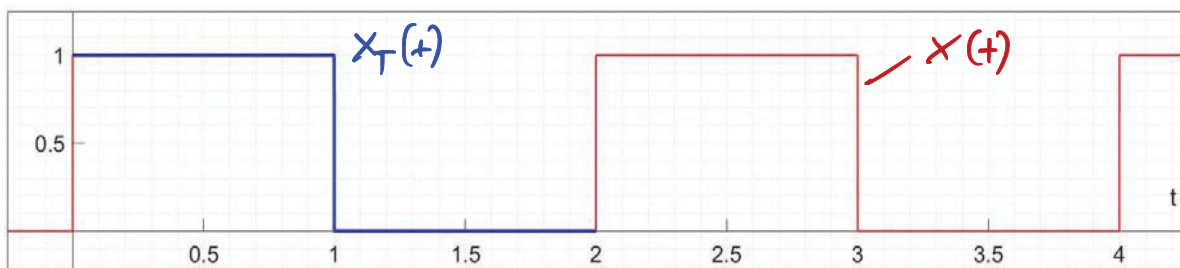
Bei den Frequenzen

$$\omega_n = n \cdot \frac{2\pi}{T}$$

stimmt die Fouriertransformierte bis auf den Faktor  $T$  mit den Fourierkoeffizienten überein. Es gilt

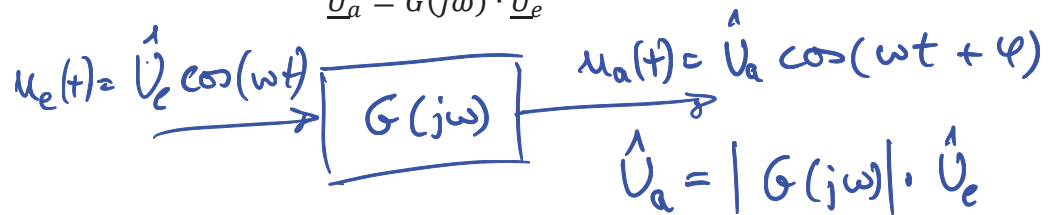
$$X(\omega_n) = T \cdot c_n$$

Insofern stellen die  $c_n$  "Abtastungen" der kontinuierlichen Spektraldichte  $X(\omega)$  dar.



$$\omega_1 = \frac{2\pi}{T} = \pi \quad \text{Messzeit } T=2$$

Der **Frequenzgang** wurde zunächst in der komplexen Wechselstromrechnung als frequenzabhängige Verstärkung sinusförmiger Spannungen hergeleitet

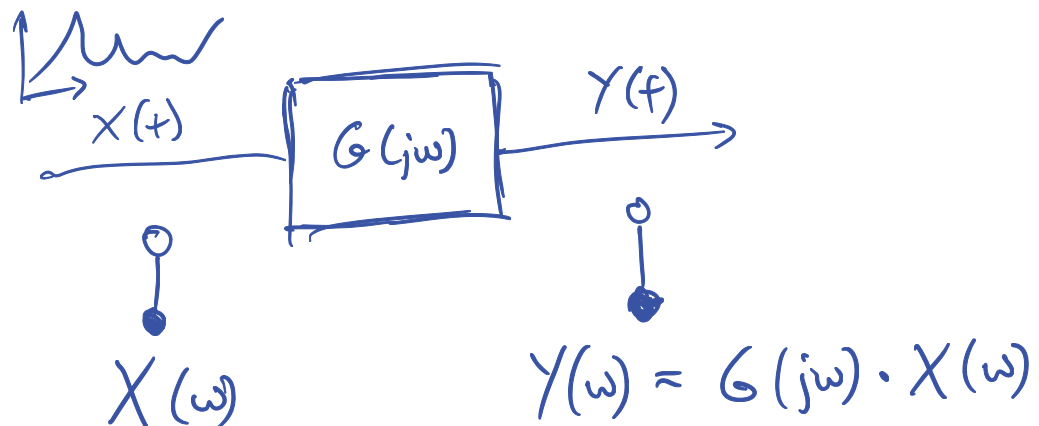
$$\underline{U_a} = G(j\omega) \cdot \underline{U_e}$$


Hand-drawn diagram showing a system block  $G(j\omega)$ . The input is  $u_e(t) = \hat{U}_e \cos(\omega t)$ . The output is  $u_a(t) = \hat{U}_a \cos(\omega t + \varphi)$ . Below the output, the magnitude relationship is given as  $\hat{U}_a = |G(j\omega)| \cdot \hat{U}_e$ .

Mit der Fouriertransformation überträgt sich das auf beliebige Signalverläufe. Ist  $x(t)$  das Eingangssignal eines Übertragungssystems mit Frequenzgang  $G(j\omega)$  und  $y(t)$  der zugehörige Signalverlauf am Ausgang, so gilt für die Fouriertransformierten

$$Y(\omega) = G(j\omega) \cdot X(\omega)$$

Das ist die Grundlage für die **Signalverarbeitung und -analyse im Frequenzbereich**.



Die **digitale Signalverarbeitung** arbeitet anstelle kontinuierlicher Funktionen mit der Abtastfolge

$$x_k = x(kT_s) \text{ mit } k = 0, 1, 2, \dots, N-1, \quad N = \frac{T}{T_s}$$

*x(t) abgetastet*

Die **Diskrete Fouriertransformation (DFT)**

$$X_n = \frac{1}{N} \sum_{k=0}^{N-1} x_k e^{-i \frac{2\pi}{N} nk} \quad \text{mit } n = 0, 1, \dots, N-1$$

zu  $N$  Abtastwerten von  $x(t)$  gehören  $N$  Werte des DFT-Spektrums

stellt eine Näherung der Integralformel von  $c_n$  dar, wobei diese Näherung umso besser ist, je kleiner die Abtastzeit  $T_s$  gewählt wird.

Es gilt

$$X_n \approx c_n.$$

$$\Rightarrow |X_n| \approx |c_n| = \frac{A_n}{2} \quad \text{Amplitude gemäß Fourierreihe}$$

Damit stellt – bis auf den Faktor  $\frac{1}{T} = \frac{1}{N \cdot T_s} = \frac{f_s}{N}$  – auch die DFT eine Abtastung der (kontinuierlichen) Fouriertransformation dar:

$$X_n \approx \frac{f_s}{N} \cdot X(\omega_n) \quad \text{kont. Fourier}$$

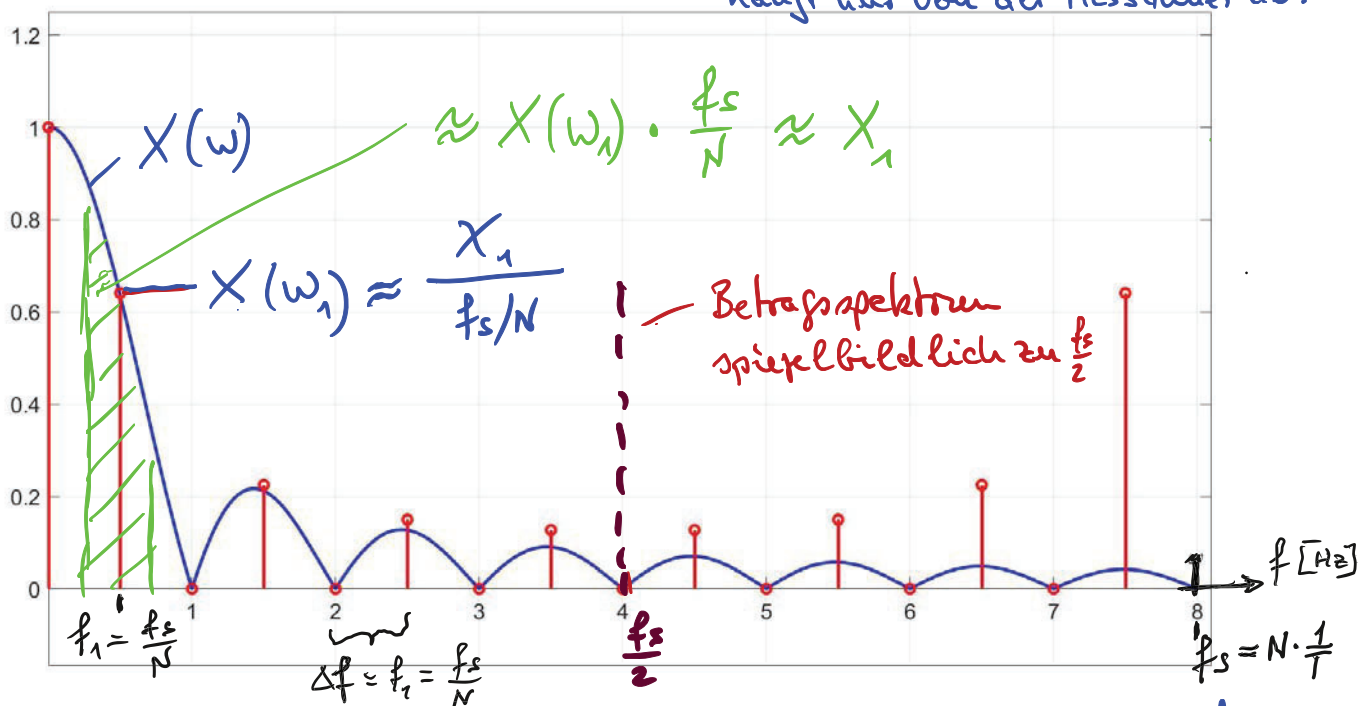
Grundfrequenz in Hz

**DFT** → Im DFT-Spektrum werden die Beträge  $|X_n|$  über den zugehörigen Frequenzen

$$f_n = n \cdot \frac{f_s}{N}, \quad n = 0, 1, 2, \dots, N-1$$

aufgetragen (Linien im Frequenzabstand  $\frac{f_s}{N} = \frac{1}{T}$ ).

Auflösung des Spektrums hängt nur von der Messdauer ab!



(\*)  $X_n = \frac{1}{2} \cdot \text{Schwingungsamplitude bei Frequenz } f_n = n \cdot \frac{f_s}{N}$

$$X(\omega_n) = \frac{X_n}{f_s/N} \quad \text{"Amplitude pro Frequenz" – Spektraldichte}$$

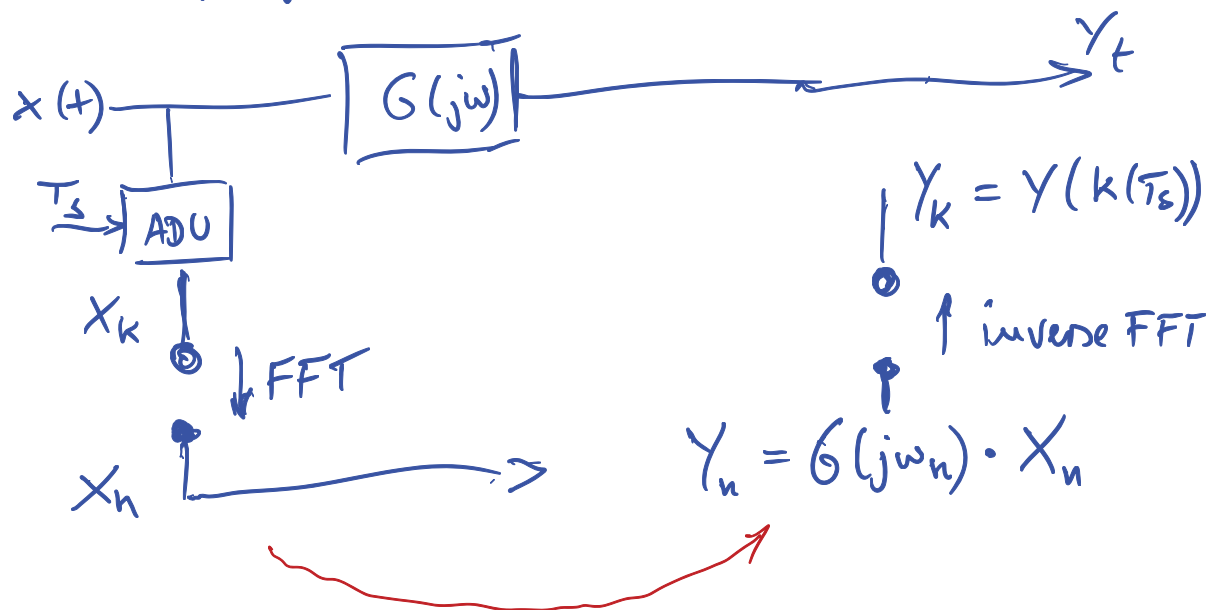
Ein zusätzlicher Effekt der Abtastung ist, dass sich das Spektrum bei Frequenzen oberhalb der Abtastrate wiederholt. Das heißt,  $X_n$  ist periodisch mit Periode  $N$  bzw. mit der Frequenz  $f_s$ , also  $X_{N+n} = X_n$ .

Außerdem ist wegen  $X_{N-n} = X_n^*$  das Betragsspektrum im Bereich  $0 \leq f < f_s$  spiegelsymmetrisch zur Achse bei  $\frac{f_s}{2}$ .

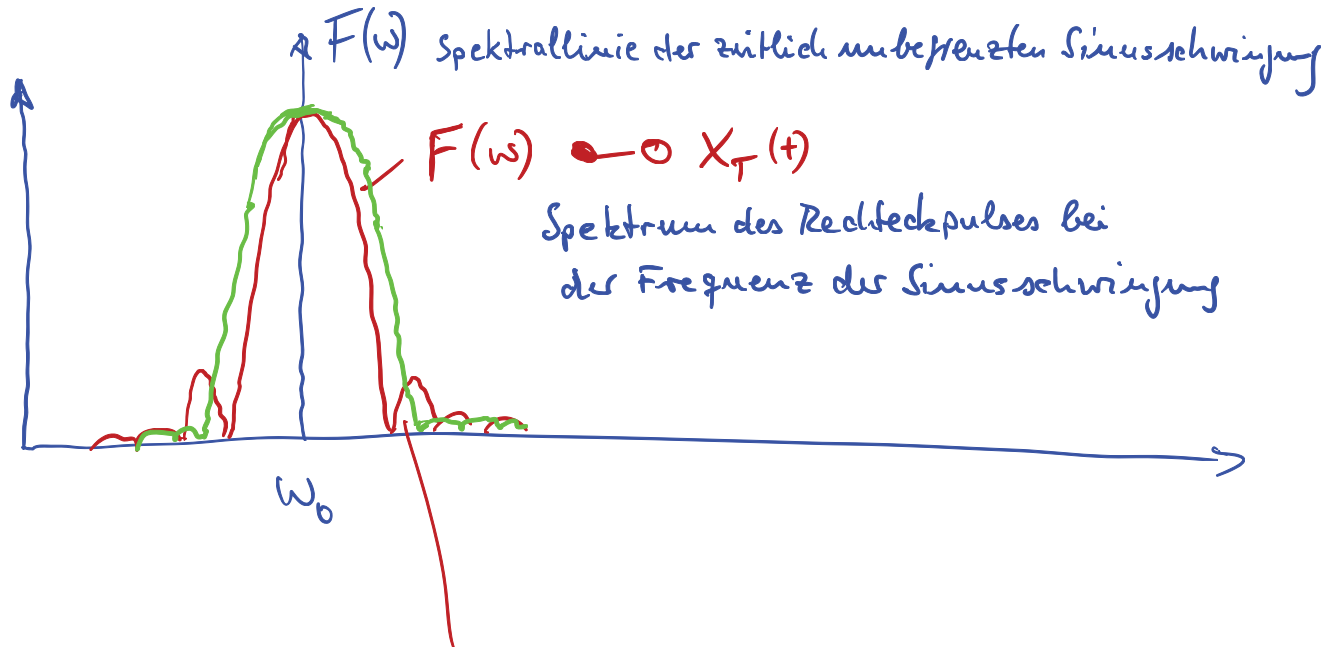
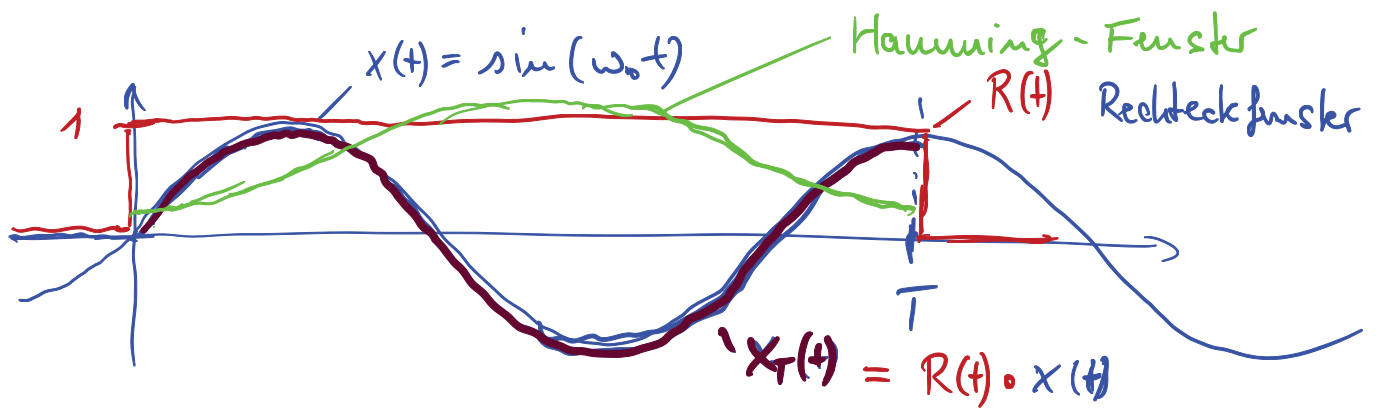
Bei üblichen Darstellungen von Spektren endet deshalb die Frequenzachse bei  $\frac{f_s}{2}$ .

Im Laborversuch wird das Ausgangssignal des Digital-Analog-Umsetzers, der mit relativ geringer Rate arbeitet, vom Picoscope mit deutlich höherer Rate abgetastet. Dadurch ist im Picoscope-Spektrum sowohl die Achsensymmetrie als auch die periodische Wiederholung bei Vielfachen der LabVIEW-Abtastrate zu erkennen.

Weil die DFT im obigen Sinn eine Näherung der Fouriertransformation darstellt, übertragen sich auch die dafür gefundenen Ergebnisse auf die DFT



Möglichkeit zur Implementierung  
digitales Filter



Nebenmaxima stören

Picoscope "Fensterfunktion" "rectangular"

Verbreitern das Max. bei  $\omega_0$  { "Blackman"  
"Hann-Fenster"

Reduzieren Nebenmaxima